Стандартные исследования образцов горных пород (продолжение)

- методы получения значений ФЕС образцов горных пород;
- физические основы методов.

Основные коллекторские свойства горных пород, определяющие их способность вмещать и пропускать через себя жидкости и газы при перепаде давления, называются фильтрационно-ёмкостными свойствами (ФЕС).

Насыщенность

Насыщенность – доля порового пространства, занимаемого конкретным флюидом

$$S_B = V_B / V_{nop}, S_H = V_H / V_{nop}, S_\Gamma = V_\Gamma / V_{nop}$$

где: s – насыщенность, $V_{\text{пор}}$ –объем пор, $V_{\text{в}}$, $V_{\text{н}}$, $V_{\text{г}}$ – объемы, занимаемые водой, нефтью, газом соответственно.

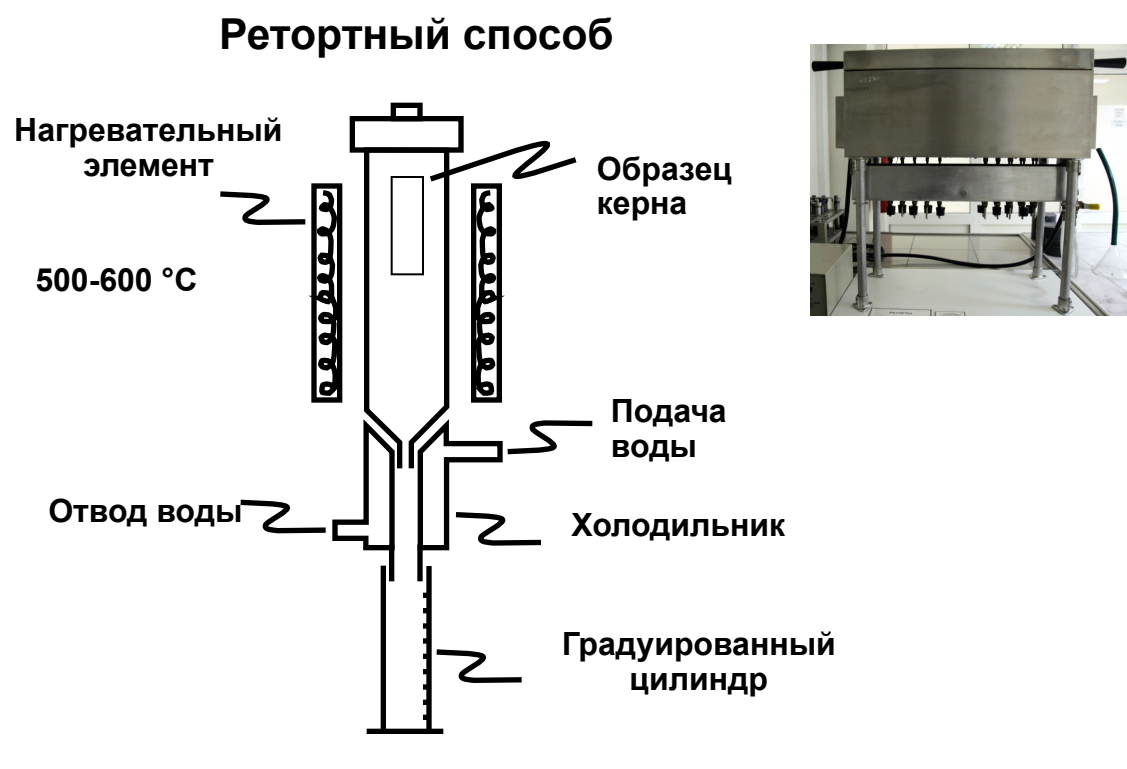
$$S_{B} + S_{H} + S_{\Gamma} = 1$$

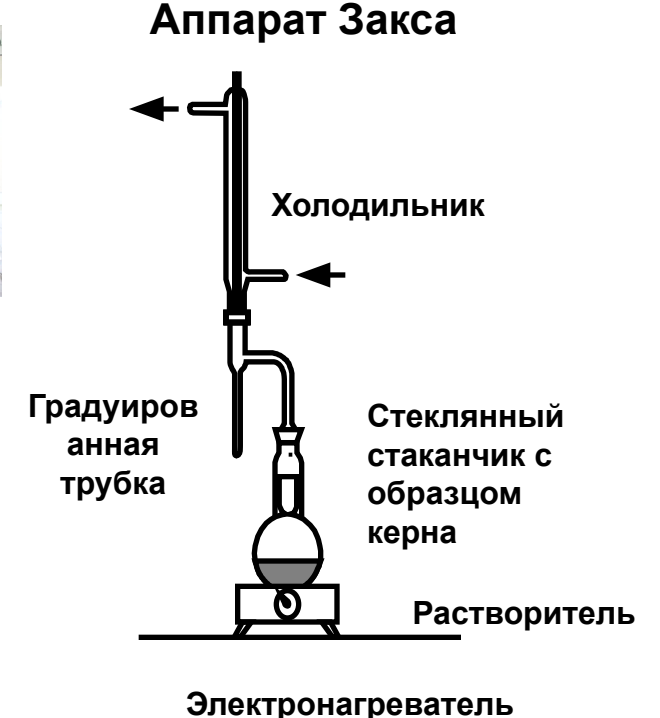
Для двухфазных систем (вода-нефть или вода-газ):

$$s = s_{B}, 1 - s = s_{H}$$

После формирования коллектора наряду с углеводородами содержат и некоторое количество воды (связанная вода). Для определения количества углеводородов в коллекторах необходимо знать начальные насыщенности водой, нефтью и газом.

Прямые методы измерения водонасыщенности





- «+»
 - Быстрота измерения
 - Прямые измерения как водо- так и нефтенасыщенности
 - Приемлемая точность
- «-» Высокие температуры
 - Образец не пригоден к другим исследованиям
 - Вода кристаллизованная в глинах может испаряться. Необходимы методы учета кристаллизованной воды
 - Коксование нефти

- «+»
 - Точное измерение водонасыщенности
 - Образец остается целым
- - Медленный (до нескольких дней)
 - Объем нефти определяется косвенно

Измерение коэффициента водоудерживающей способности (КВС)

$$\begin{split} \boldsymbol{M}_{cyx} &= \rho_{3epeh} \cdot \boldsymbol{V}_{3epeh}, \\ \boldsymbol{M}_{hac} &= \rho_{3epeh} \cdot \boldsymbol{V}_{3epeh} + \rho_{\mathcal{K}} \cdot \boldsymbol{V}_{nop}, \\ \boldsymbol{M}_{\textit{в3в}} &= \rho_{3epeh} \cdot \boldsymbol{V}_{3epeh} + \rho_{\mathcal{K}} \cdot \boldsymbol{V}_{nop} - \rho_{\mathcal{K}} \cdot \boldsymbol{V}_{oбp}, \end{split}$$

$$M_{ocm} = \rho_{3epeh} \cdot V_{3epeh} + \rho_{\mathcal{H}} \cdot V_{\mathcal{H}},$$

Взвешивание после откручивания на центрифуге в течение 40 мин со скоростью вращения 5000 об/мин

$$s_{\kappa BC} = \frac{M_{ocm} - M_{cyx}}{M_{Hac} - M_{cyx}} = \frac{\rho_{\mathcal{H}} \cdot V_{\mathcal{H}}}{\rho_{\mathcal{H}} \cdot V_{nop}}$$



Электропроводность насыщенных пород

$$\delta = \frac{RF}{L}$$

 δ – удельное электрическое сопротивление

R – сопротивление

F - площадь поперечного сечения проводника

L – длина проводника

$$P_n = \frac{\delta_n}{\delta_e}$$

Рп – параметр пористости

 $\delta_{_{\Pi}}\text{-}$ удельное сопротивление породы, насыщенной водой, имеющей удельное сопротивление $\delta_{_{B}}$

Электрические свойства пород зависят от геометрии порового пространства и свойств жидкостей.

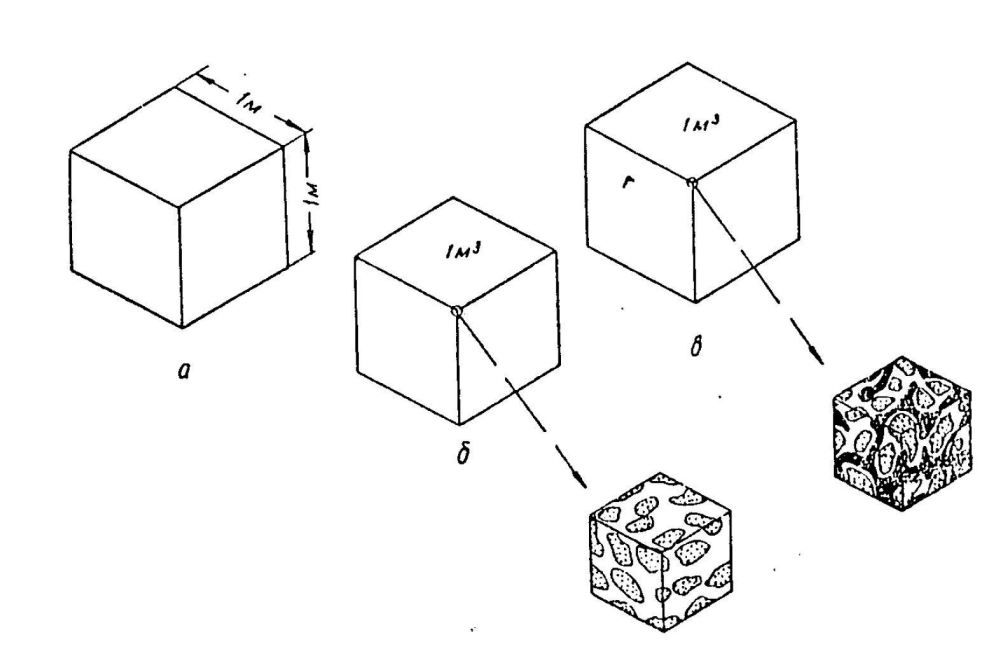
Нефть, газ, дистиллированная вода, порода (за исключением некоторых глинистых минералов) не проводят электрический ток.

Проводником является минерализованная, вода при этом удельное электрическое сопротивление воды зависит от степени минерализации и термобапрических условий

$$R_1 = \frac{\delta_e L}{F} \qquad R_2 = \frac{\delta_e L_a}{F_a}$$

$$\delta_n = \frac{R_2 F}{L}$$
 $\delta_n = \frac{\delta_e L_a F}{L F_a}$

$$P_{n} = \frac{\delta_{n}}{\delta_{e}} = \frac{\delta_{e}L_{a}F}{LF_{a}\delta_{e}} = \frac{\frac{L_{a}}{L}}{\frac{F_{a}}{F}} = \frac{\sqrt{\tau}}{\frac{F_{a}}{F}}$$



 P_{Π} – параметр пористости,

 F_a – эффективная площадь поровых каналов в поперечном сечении образца, м²

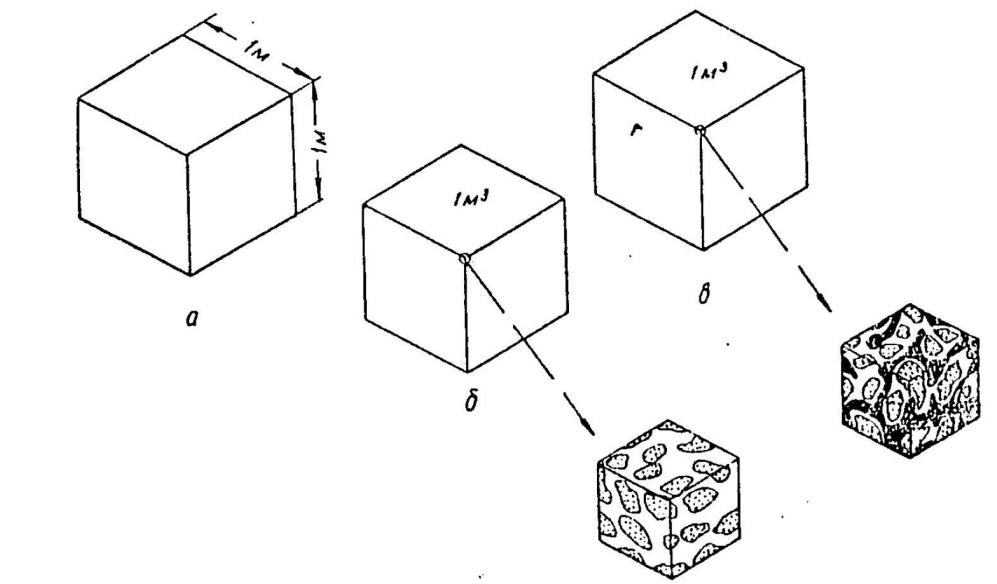
L_a – путь который, проходит ион при своем движении в поровых каналах, м

 τ – извилистость поровых каналов,

 R_1 , R_2 – сопротивления воды, насыщенного водой образца

$$\tau = \left(\frac{L_a}{L}\right)^2$$

$$P_{H} = \frac{\delta_{_{HAC}}}{\delta_{_{n}}} \quad \delta_{_{HAC}} = \frac{R_{_{3}}F}{L}$$
 $R_{_{3}} = \frac{\delta_{_{_{B}}}L_{_{_{H}}}}{F_{_{_{H}}}}$
 $\delta_{_{HAC}} = \frac{\delta_{_{_{B}}}L_{_{_{H}}}F}{F_{_{_{H}}}L} \quad P_{_{_{H}}} = \frac{F_{_{_{A}}}}{L_{_{_{A}}}}$



Р_н – параметр насыщения,

 $F_{\rm H}^{"}$ – эффективная площадь поровых каналов в поперечном сечении частично насыщенного образца, м²

L_н – путь который, проходит ион при своем движении в частично насыщенных водой поровых каналах, м

R₃ – сопротивление частично насыщенного водой образца.

Модель идеального грунта (Вилли с соавт.)

$$F_a = F_1 + F_2 = k_n F \qquad F_{\scriptscriptstyle H} = k_n s_{\scriptscriptstyle B} F$$

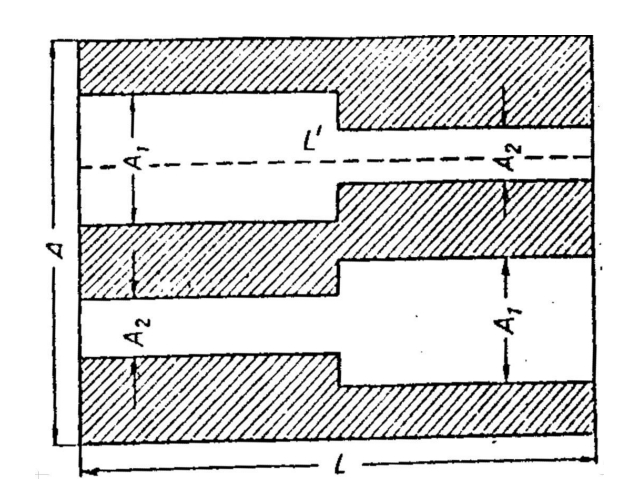
$$p_{n} = \frac{\frac{L_{a}}{L}}{\frac{L_{a}}{F}} = \frac{L_{a}}{L} \cdot \frac{1}{k_{n}} \qquad P_{H} = \frac{\frac{k_{n}F}{k_{n}s_{e}F}}{\frac{L_{a}}{L_{u}}} = \frac{L_{H}}{L_{a}} \cdot \frac{1}{s_{e}}$$

$$P_n = C(k_n)^{-\varphi}$$

$$P_{H} = C'(s_{B})^{-n}$$

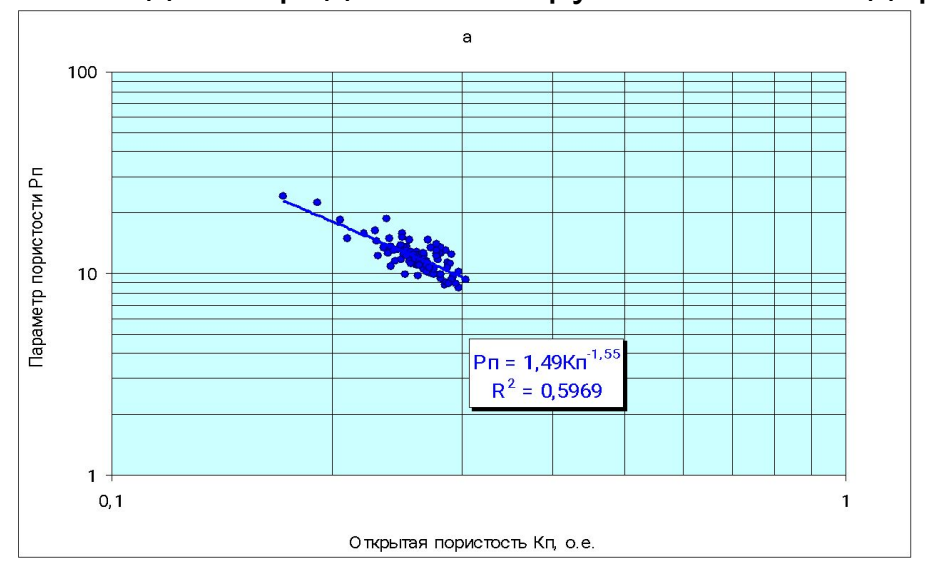
С и С` - некоторые функции извилистости,

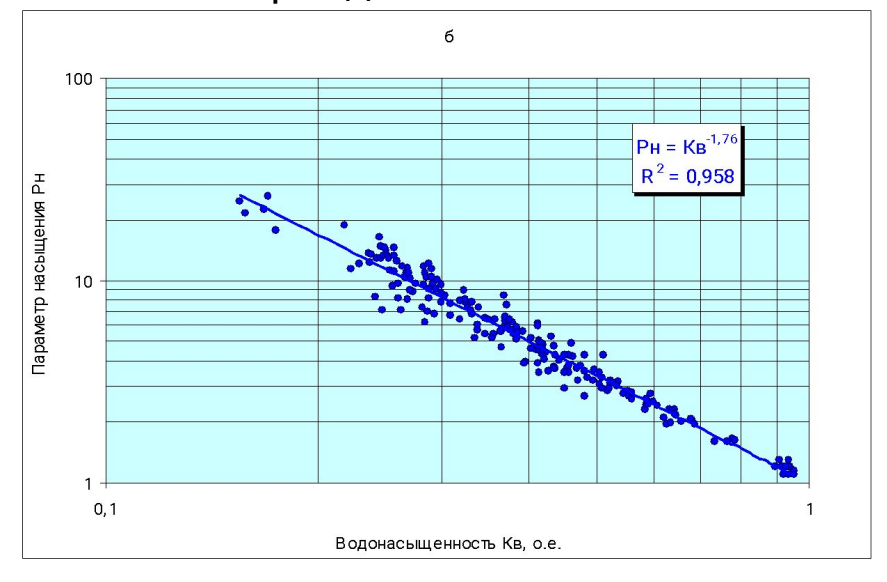
 $\phi \, u \, n$ - показатели степени, зависящие от геометрии порового пространства.



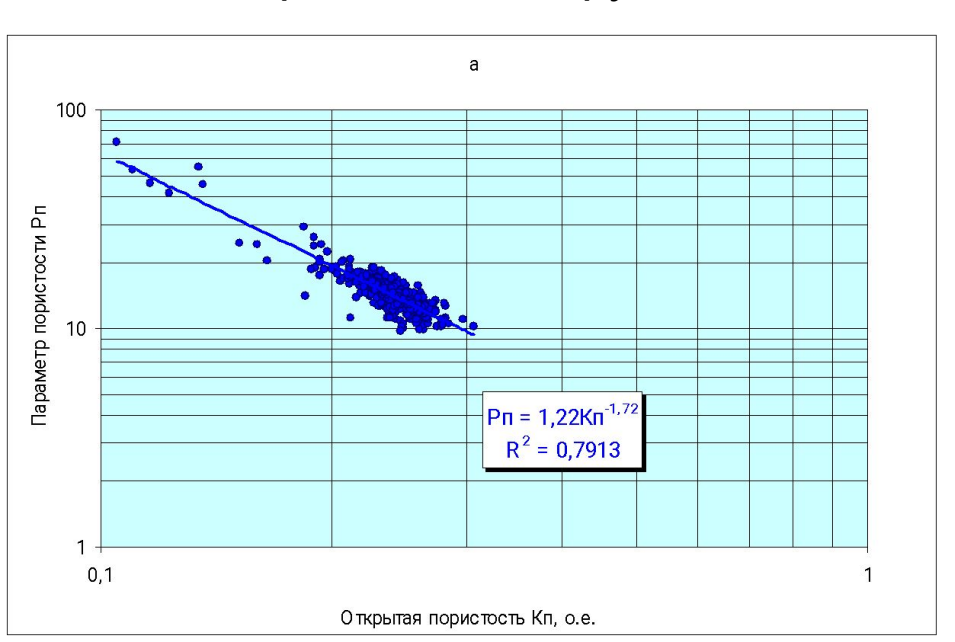


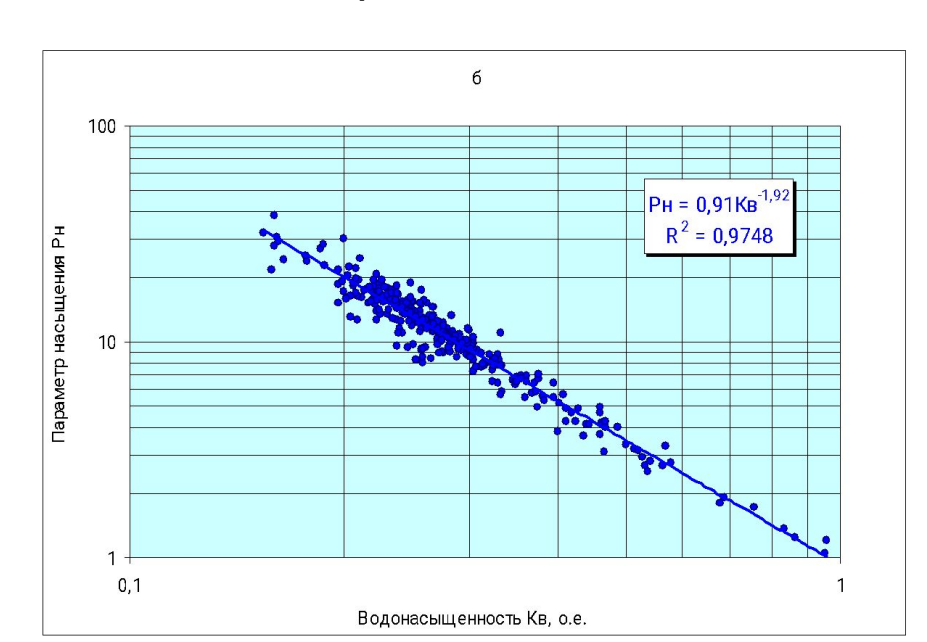
Зависимости параметра пористости Рп от величины открытой пористости Кп (а) и параметра насыщения Рн от водонасыщенности Кв (б) для пород пластов группы АС2-5 Фёдоровского месторождения





для пород пластов группы БС1-11 Фёдоровского месторождения





Капиллярное давление.

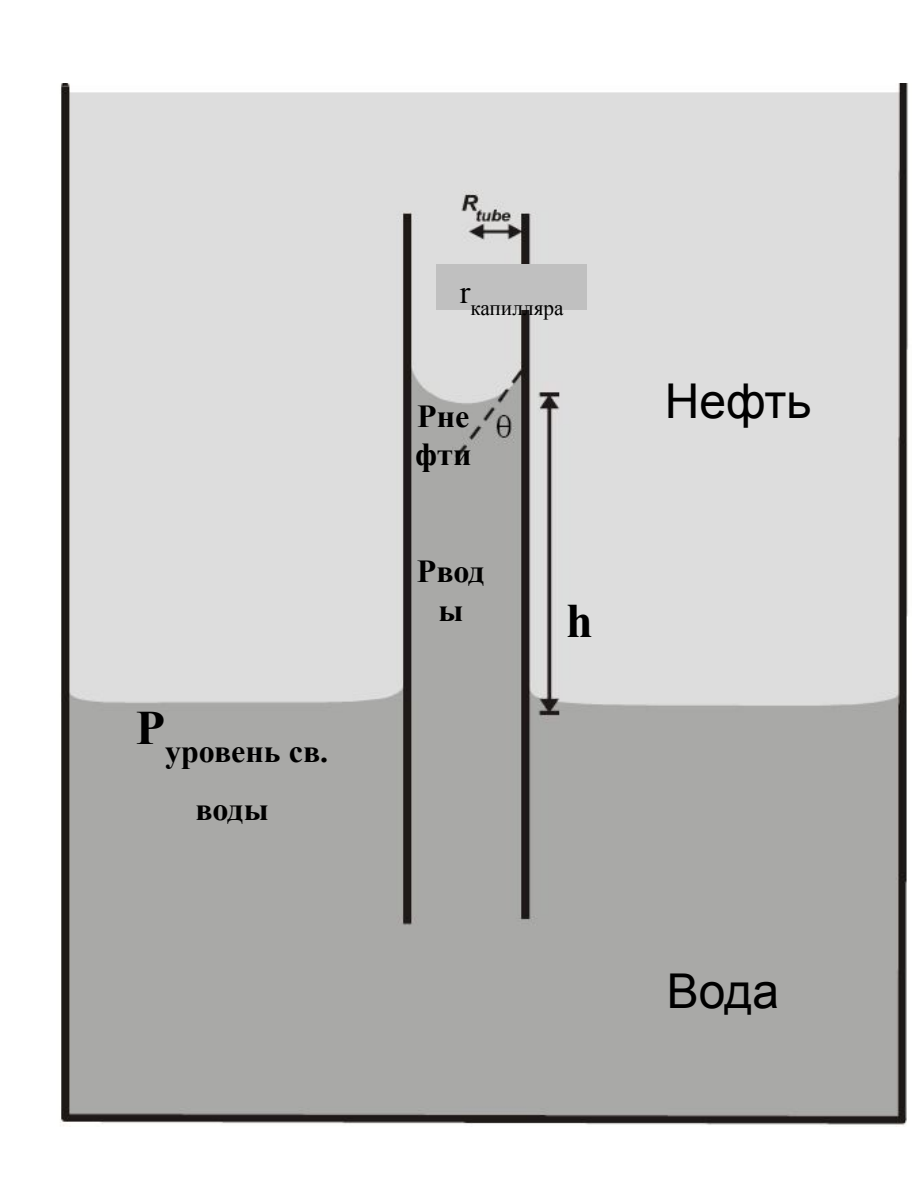
 $\sigma_{\it вh}$ — силы межфазного натяжения (H/M) $P_{\it K}=P_{\it Heфmu}-P_{\it воды}=\left(\rho_{\it воды}-\rho_{\it Heфmu}\right)\!\!\!\times\!g\!\times\!h$ $P_{\it K}$ — капилярно е давление (Πa) $\rho_{\it воды}$, $\rho_{\it Heфmu}$ — плотности воды и нефти, соответств енно $(\kappa z/M^3)$

g – ускорение свободного падения (${\it m/c}^2$)

h – высота над уровнем свободной воды (м)

$$P_{\kappa} = \frac{2\sigma_{\rm вH}\cos\theta}{r_{\kappa anu nn spa}}$$

В ПОРИСТОЙ СРЕДЕ СМАЧИВАЮЩАЯ ФАЗА НАХОДИТСЯ ПОД МЕНЬШИМ ДАВЛЕНИЕМ, ЧЕМ НЕСМАЧИВАЮЩАЯ



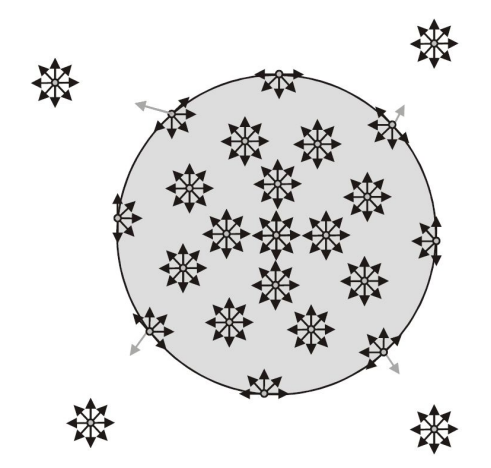
Силы межфазного натяжения

Возникают на границе раздела между жидкостями или жидкостью и газом.

"ФАЗА" — ЭТО "ОПРЕДЕЛЕННАЯ ЧАСТЬ СИСТЕМЫ, КОТОРАЯ ЯВЛЯЕТСЯ ГОМОГЕННОЙ И ФИЗИЧЕСКИ ОТДЕЛЕНА ОТ ДРУГИХ ФАЗ ОТЧЕТЛИВЫМИ ГРАНИЦАМИ".

Силы на границах фаз несбалансированны



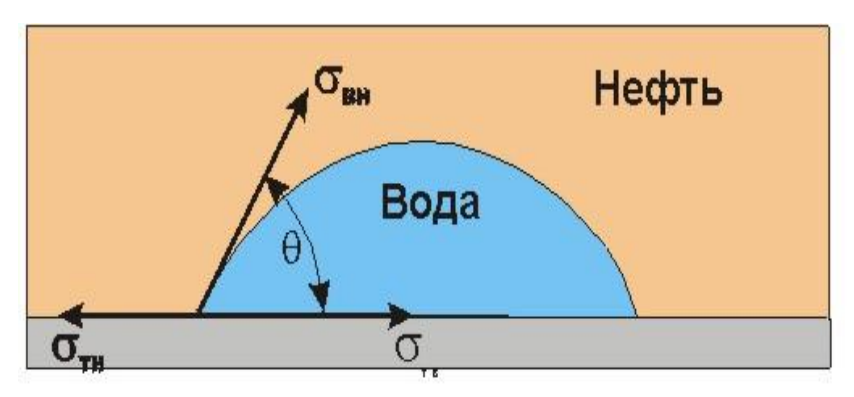


СВОБОДНАЯ ПОВЕРХНОСТНАЯ
ЭНЕРГИЯ - РАБОТА, НЕОБХОДИМАЯ
ДЛЯ ОБРАЗОВАНИЯ ЕДИНИЦЫ
ПЛОЩАДИ НОВОЙ ПОВЕРХНОСТИ

Граница раздела	Силы межфазного натяжения при T=°20C		
	Н/м	дин/см	
Вода - воздух	0.0726	72.6	
Вода - нефть	~ 0.0350	~ 35	
Ртуть - Воздух	0.3680	368	

Смачиваемость

- Смачиваемость это способность одного флюида распространяться по поверхности твердого тела в присутствии другого флюида. Флюиды несмешивающиеся
- Смачиваемость характеризует взаимодействие между флюидами и твердым телом
- Контактный угол θ.



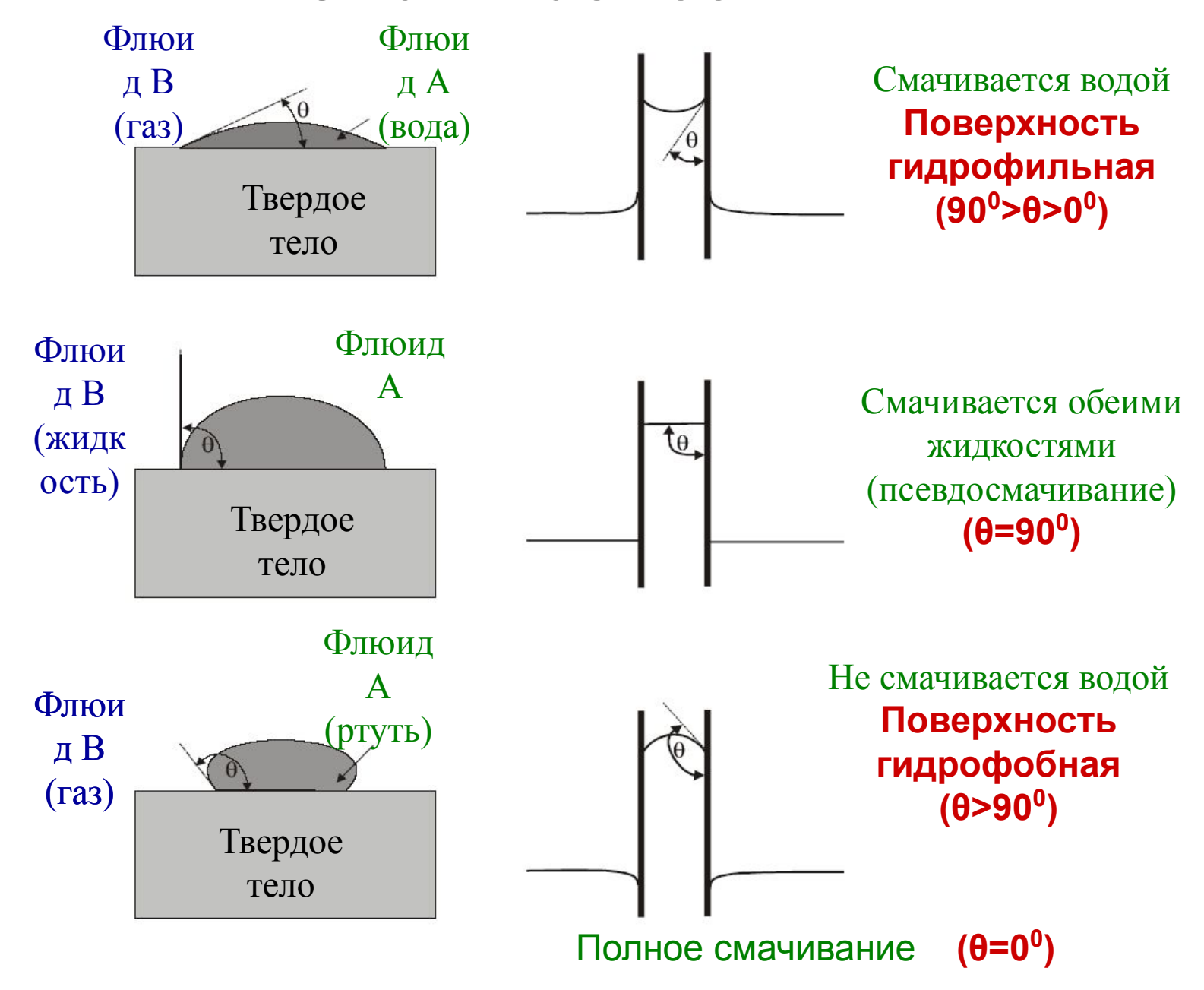
 $\cos \theta = (\sigma_{TH} - \sigma_{TB})/\sigma_{BH}$

Равновесие сил на границе раздела трёх фаз: вода - нефть - твердое тело

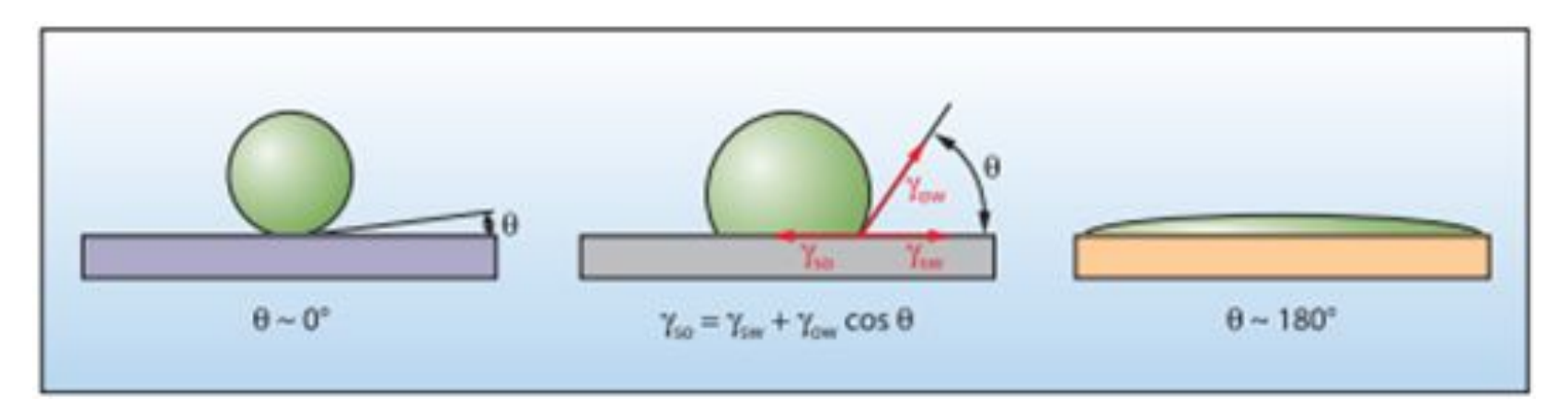
Уравнение Юнга

$$\sigma_{mH} - \sigma_{me} = \sigma_{eH} cos \theta_{eH}$$

Смачиваемость



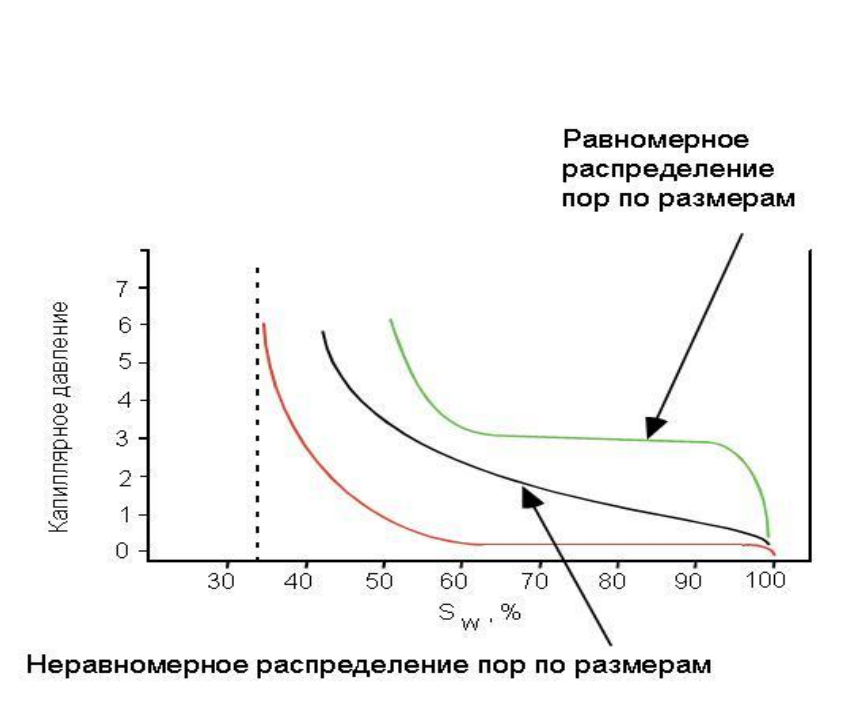
Трехфазная система «нефть-вода-порода»

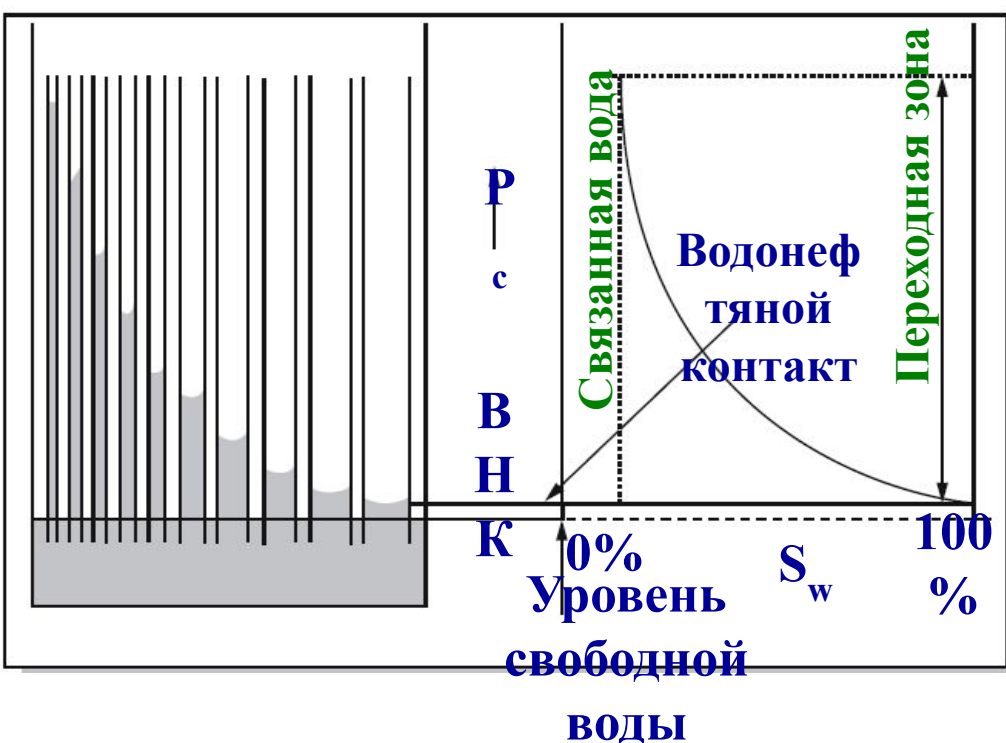


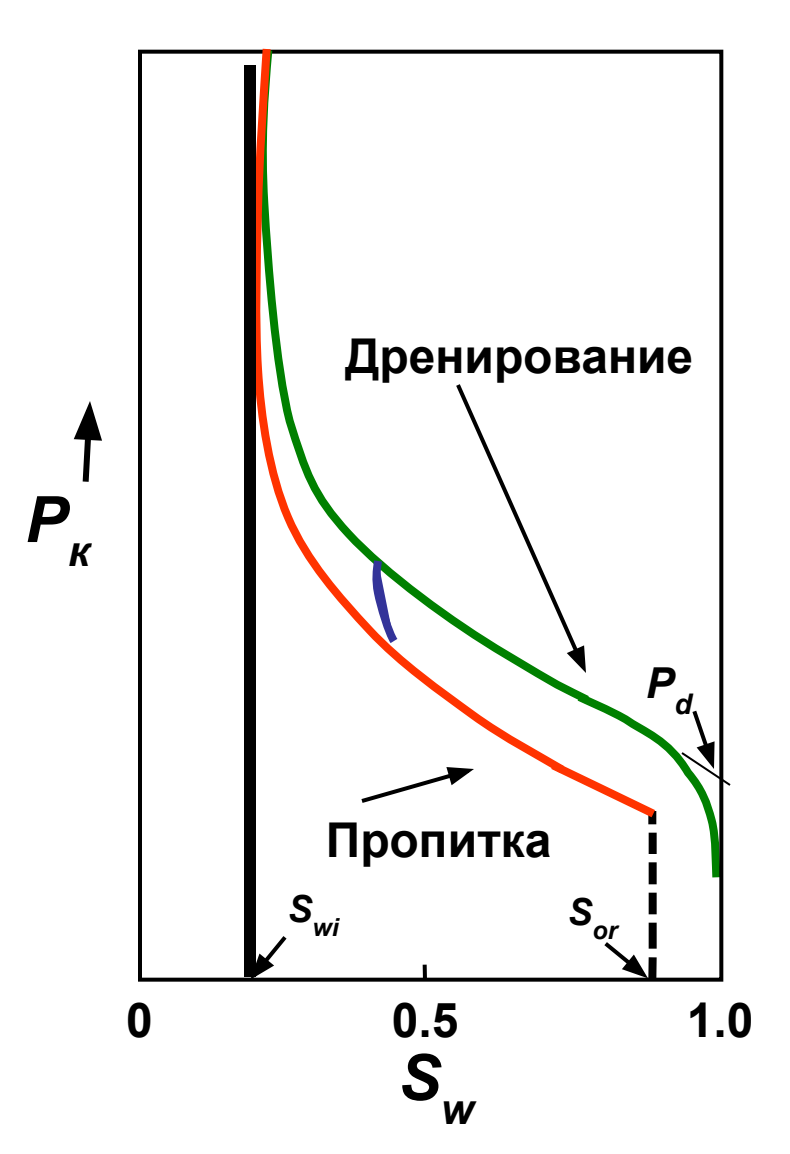
Краевой угол смачивания. Нефть (зеленый цвет), окруженная водой (синий цвет) на гидрофильной поверхности, образует каплю (а). Краевой угол смачивания 0 практически равен нулю. Если поверхность смачивается нефтью (в), капля растекается, и краевой угол приближается к 180°. На поверхности с промежуточной смачиваемостью (б) также образуется капля, но краевой угол зависит от баланса сил поверхностного натяжения (для границ«поверхность/нефть», «поверхность/вода» и «нефть/вода» соответственно).

Для чего нужна информация о капиллярном давление?

- Определение начальной насыщенности пласта
- Расчет объемов подвижной нефти при использовании воды в качестве вытесняющего агента
- Входные данные для программ по гидродинамическому моделированию разработки месторождений







<u>Дренирование</u>

• Насыщенность несмачивающей фазы возрастает

Пропитка

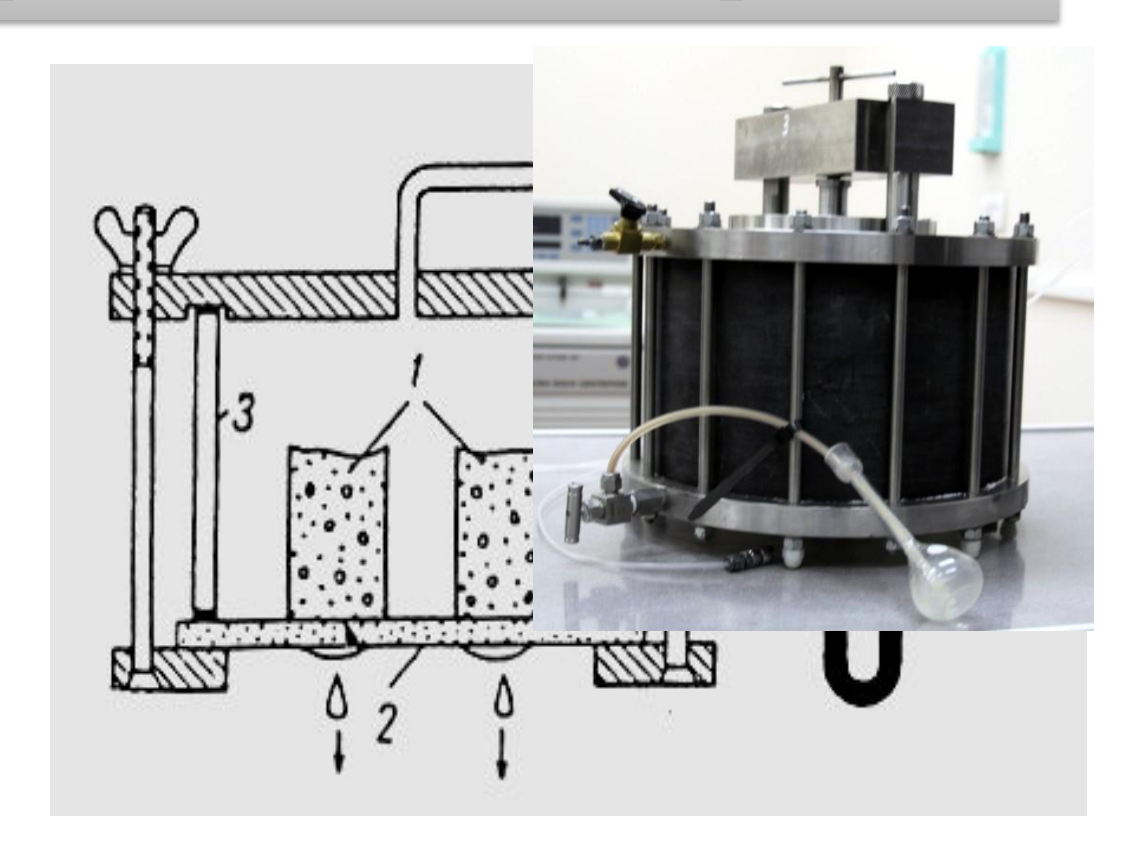
• Насыщенность смачивающей фазы возрастает

1.8. Ј Функция Леверетта

- Безразмерное капиллярное давление
- Предположение одинаковая кривизна в любой точке порового пространства

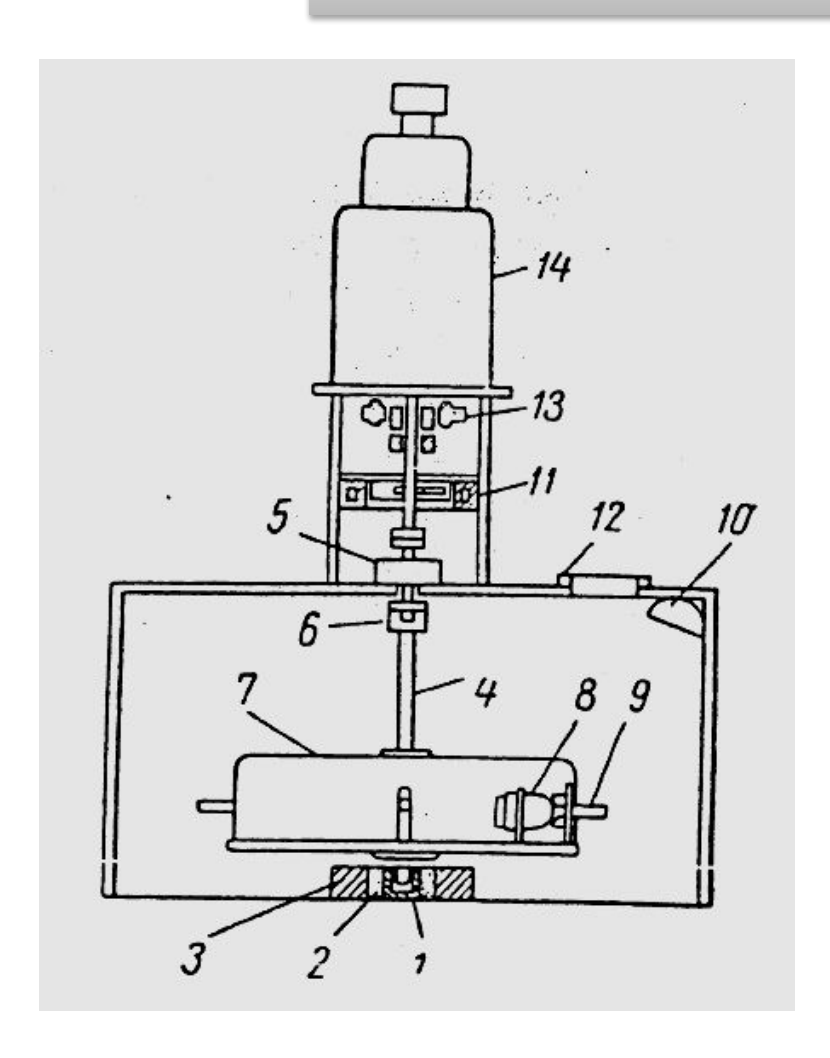
$$J = P_c \frac{\sqrt{K/\phi}}{\sigma \cos \theta}$$

Метод полупроницаемой мембраны



- 1 образцы кернов;
- 2 пористая перегородка;
- 3 стойки из люцита;
- 4 сжатый воздух;
- 5 редуктор;
- 6 ртутный манометр.

Метод центрифугирования



```
1 – металлическая чаша;
```

- 2 кольцо из губчатой резины;
- 3 стальное кольцо;
- 4 вал;
- 5 -шариковый подшипник;
- 6 универсальный шарнир;
- 7 кожух ротора;
- 8 кернодержатель;
- 9 пробирка;
- 10 стробоскопическая лампа;
- 11 контактор;
- 12 окошко;
- 13 генератор постоянного тока;
- 14 электродвигатель переменного тока

Нет однозначной связи давления, необходимого для моделирования остаточной водонасыщенности, с фильтрационноемкостными свойствами образца и техническими параметрами центрифуги. Поэтому существует несколько формул, определяющих эту связь